



Экспериментальная ядерная физика

Прикладная экспериментальная ядерная физика

2015

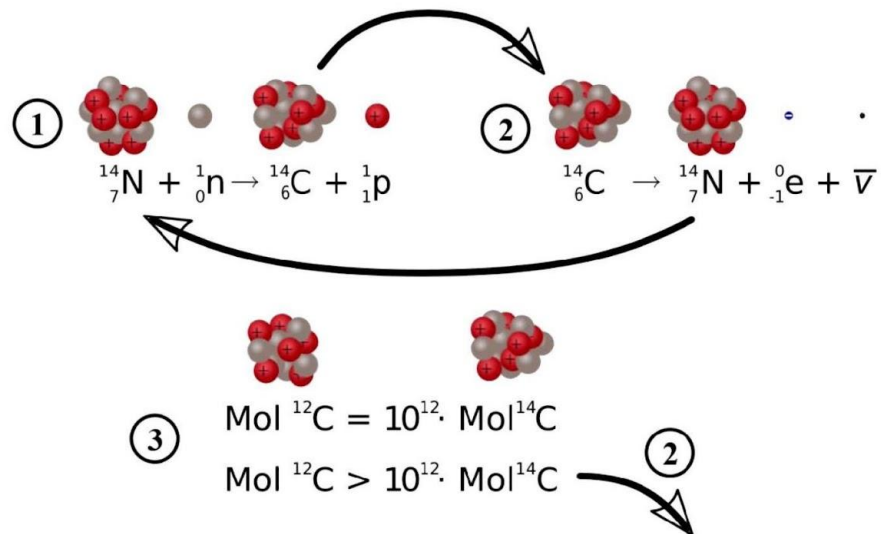
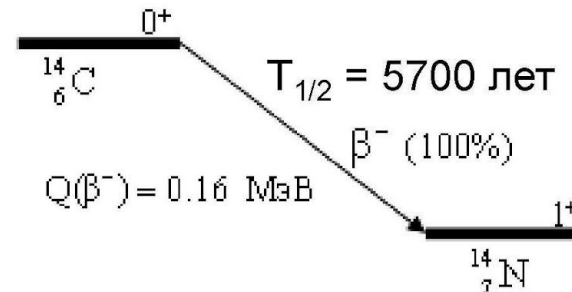
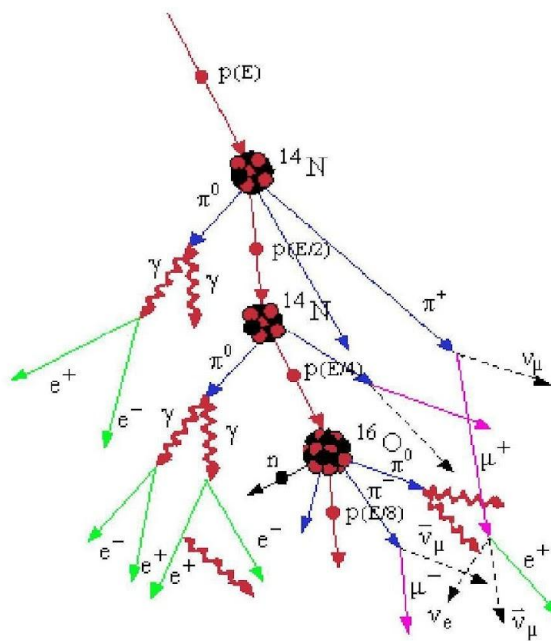


Прикладная экспериментальная ядерная физика

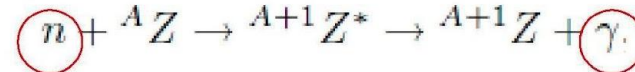
1. Ядерная хронология
2. Нейтронно-активационный анализ
3. Нейтронный и гамма-каротаж
4. Масс-спектрометрия с ускорителями
5. Радиоизотопная диагностика в ядерной медицине
6. Радиационная терапия в ядерной медицине
7. Системы безопасности

1. Ядерная хронология

Предложена Уиллардом Либби в 1946 году
(Нобелевская премия по химии, 1960).



2. Нейтронно-активационный анализ



Метод НАА берет свое начало в 1936 г., когда Хевиши и Леви, используя нейтроны Ra–Be-источника, определяли редкоземельные элементы

В 1938 г. НАА был впервые применен Сиборгом и Ливингудом для определения серы по реакции ${}^{32}\text{S}(n, p){}^{32}\text{P}$ в биологическом образце — бумаге

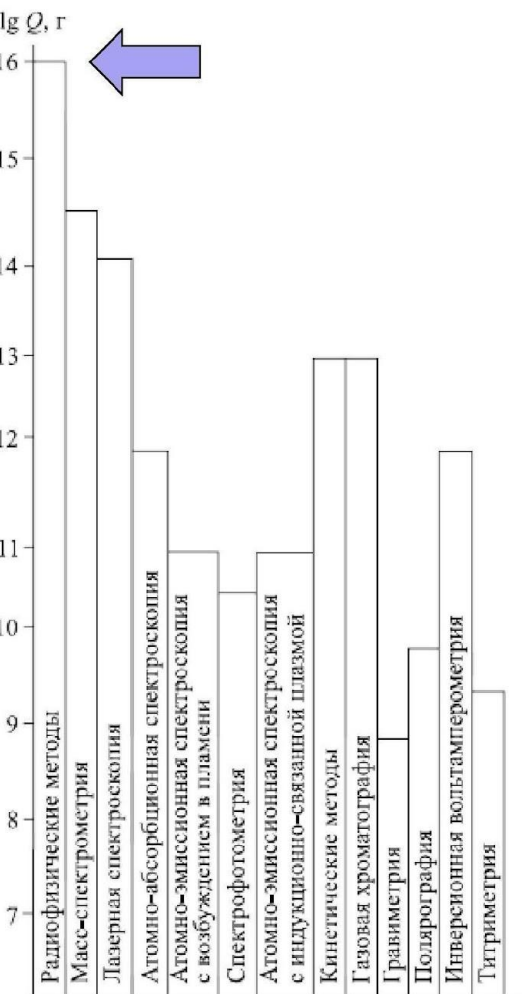
В 1948 г. Браун и Голдберг, используя нейтроны реактора, определили малые концентрации гадолиния и палладия в метеоритах

С этого момента НАА на реакторных нейтронах стал интенсивно использоваться для анализа руд, минералов, биологических объектов

Мощные реакторные потоки ($10^{12} - 10^{14} \text{ см}^{-2} \cdot \text{с}^{-1}$), сочетание различных вариантов метода, использование современных полупроводниковых детекторов высокого разрешения ($\sim 2 \text{ кэВ}$), измерительной и вычислительной компьютерной техники, а также передовых компьютерных технологий в обработке и интерпретации данных определяют современный уровень НАА.

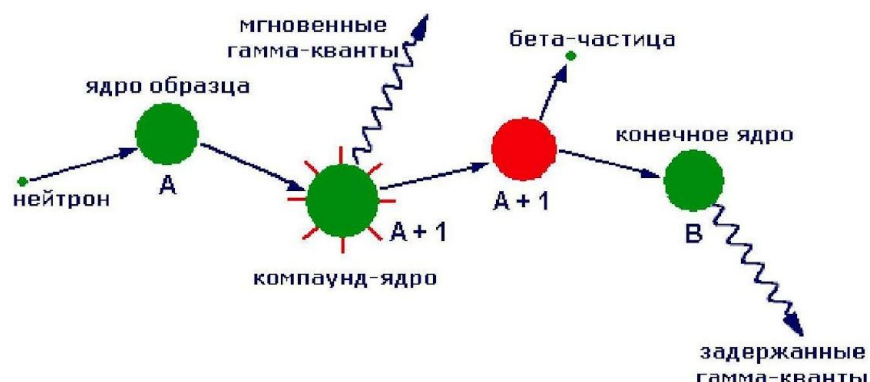
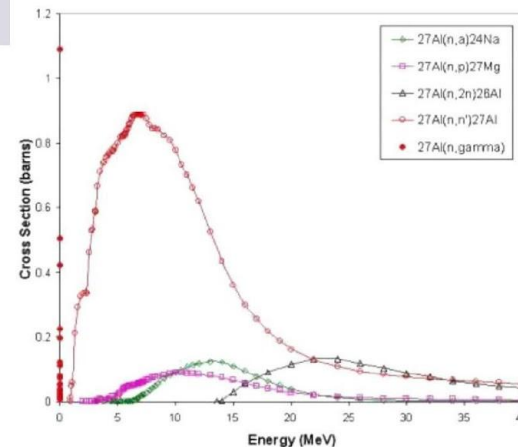
К преимуществам НАА относятся:

- высокая чувствительность для большинства элементов, особенно для тяжелых металлов с $Z > 10$;
- хорошая селективность, связанная со специфичностью ядерно-физических характеристик элементов;
- возможность одновременного определения большого числа элементов
- независимость результатов анализа от вида химических соединений элементов;
- недеструктивный характер анализа и, следовательно, отсутствие риска загрязнений реактивами или неполного растворения образцов;
- простота процедуры подготовки образцов для анализа;
- хорошая точность порядка $\pm(10-15)\%$ при определении содержаний порядка 10^{-6} г ;

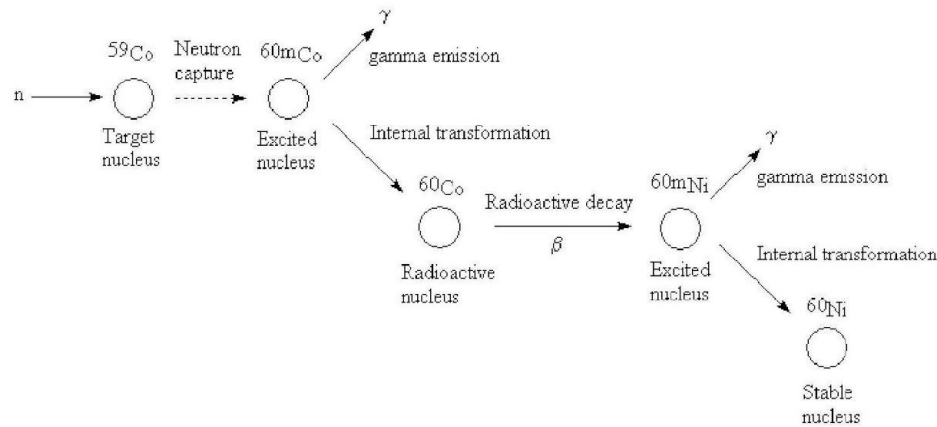
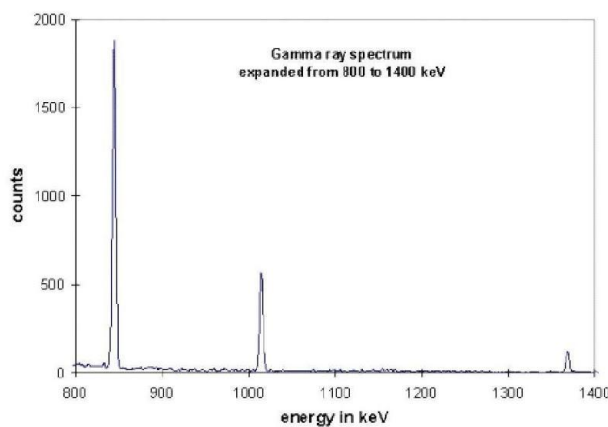
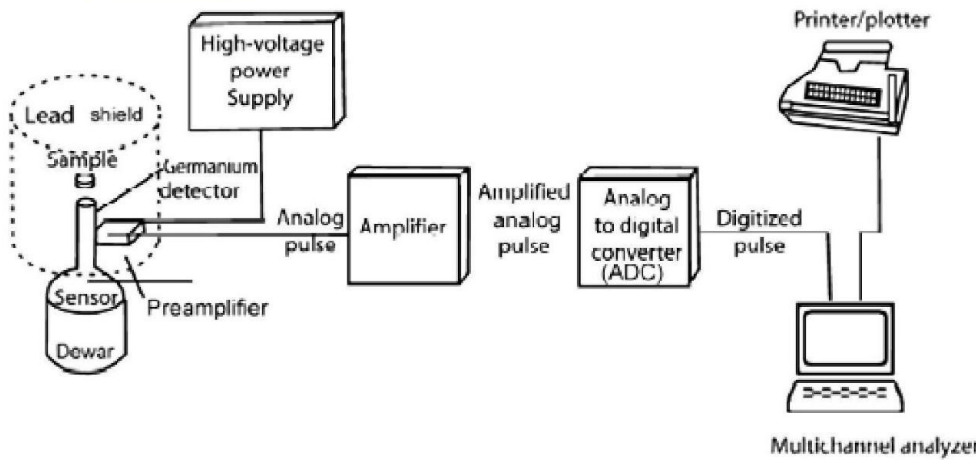
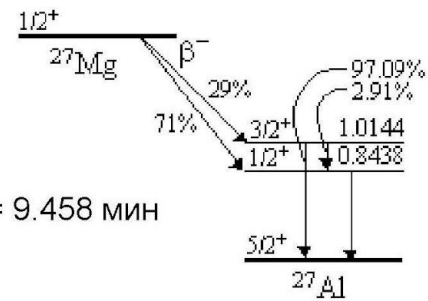


Нижние границы определяемых содержаний компонентов ($-\lg Q, \text{ г}$) для некоторых методов анализа

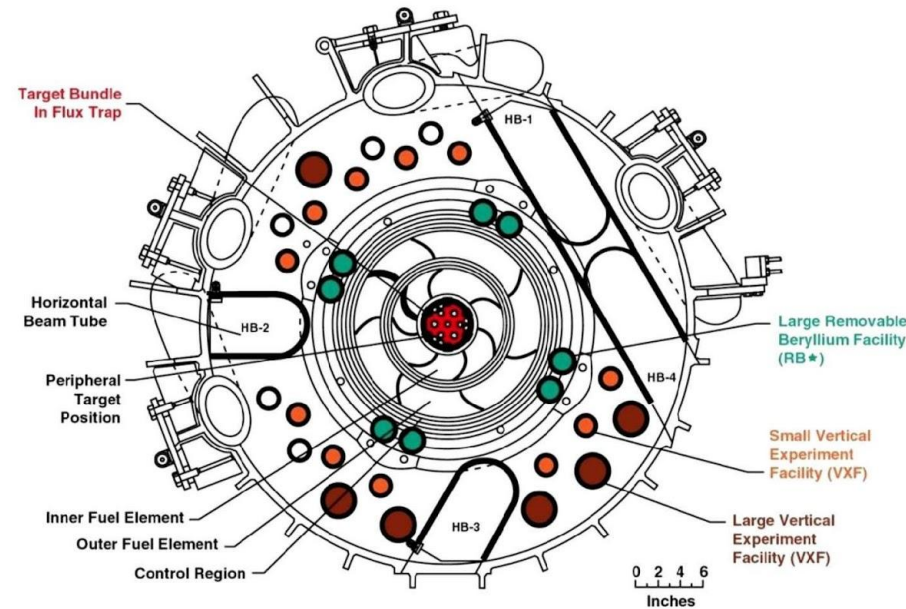
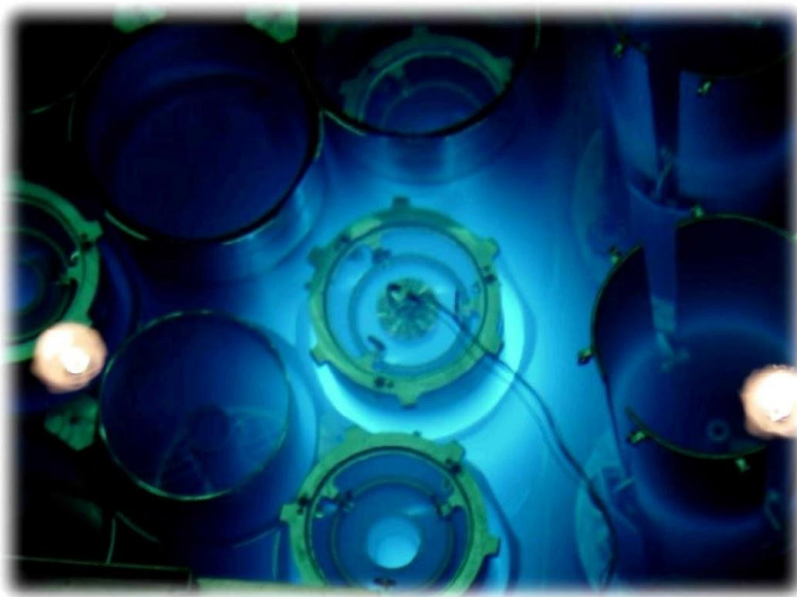
Reaction Cross Sections



$^{26}\text{Mg}(n,\gamma)^{27}\text{Mg}$
0.0372 барн



Использование ядерных реакторов для НАА

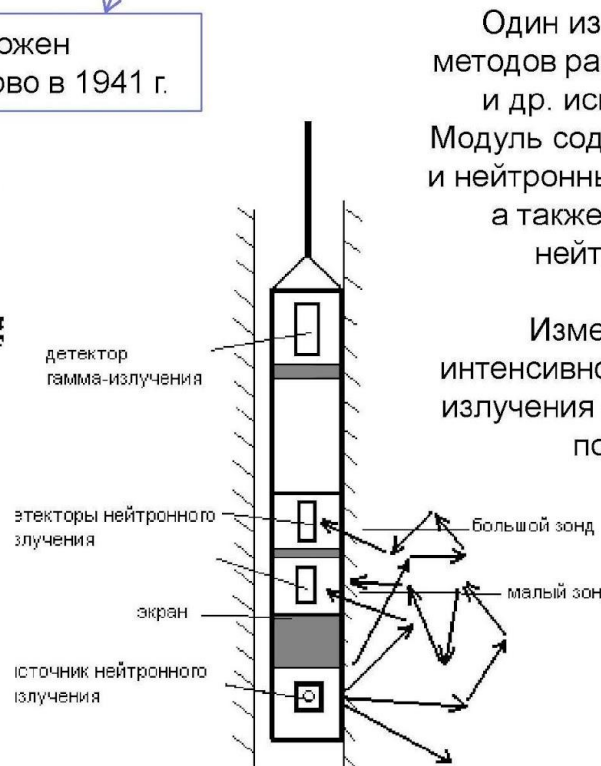
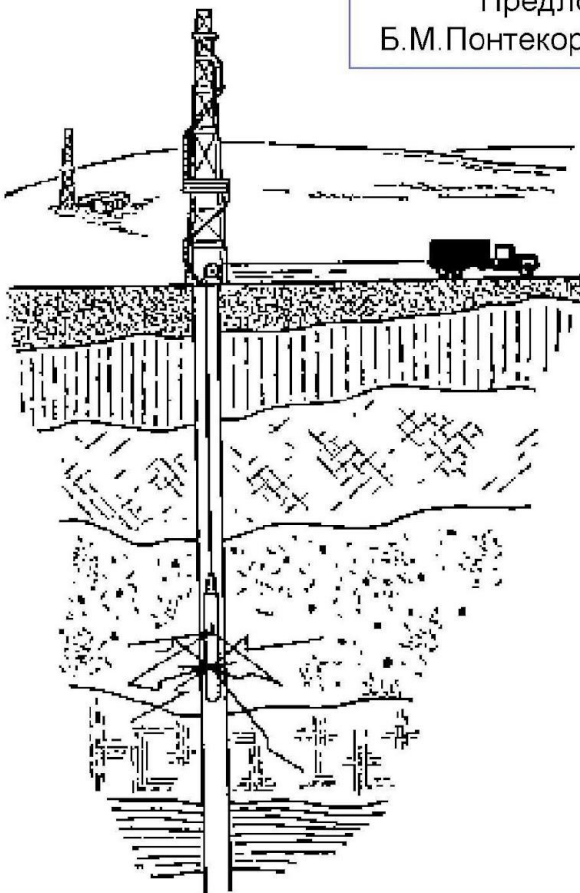


High Flux Isotope Reactor (HFIR) at Oak Ridge National Laboratory

Примерные уровни чувствительности НАА по элементам при анализе окружающей среды

3. Нейтронный и гамма-каротаж

Предложен
Б.М. Понтекорво в 1941 г.



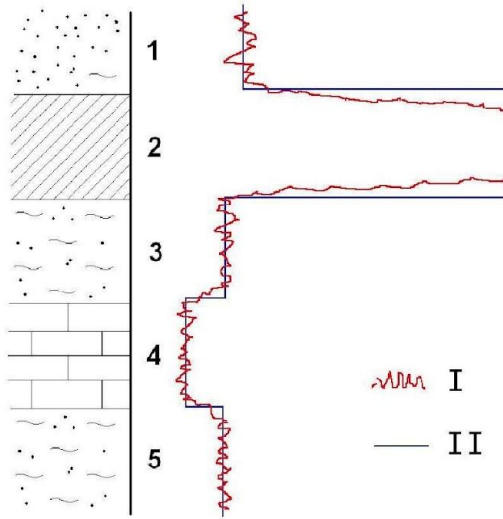
$$I_{SH} = \frac{GR - GR_{MIN}}{GR_{MAX} - GR_{MIN}}$$

Один из основных методов разведки нефти и др. ископаемых.

Модуль содержит гамма- и нейтронные детекторы, а также источник нейтронов.

Измеряется интенсивность и состав излучения окружающих пород





ГГК-П (плотностной гамма-каротаж) - показания характеризуются в основном по Комптоновскому эффекту, применяют на нефтяных и газовых месторождениях:

I — наблюденная кривая, II — теоретическое поле.

Породы: 1 — песчаник; 2 — уголь; 3 и 5 — глины, суглинки; 4 — известняк.

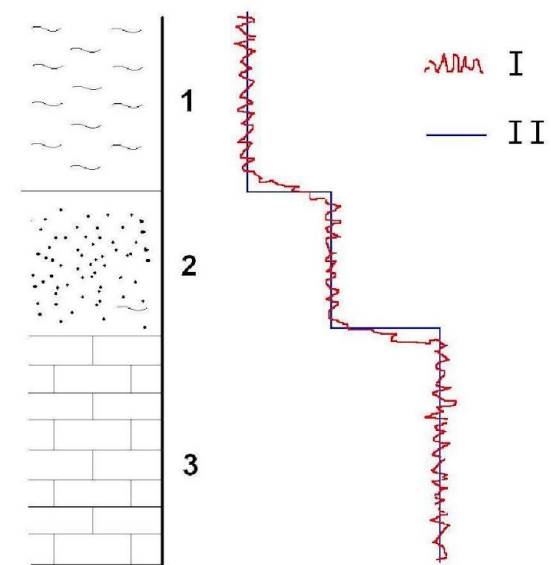
Плотный известняк характеризуется низкими значениями, а низкоплотный уголь — аномально высокими

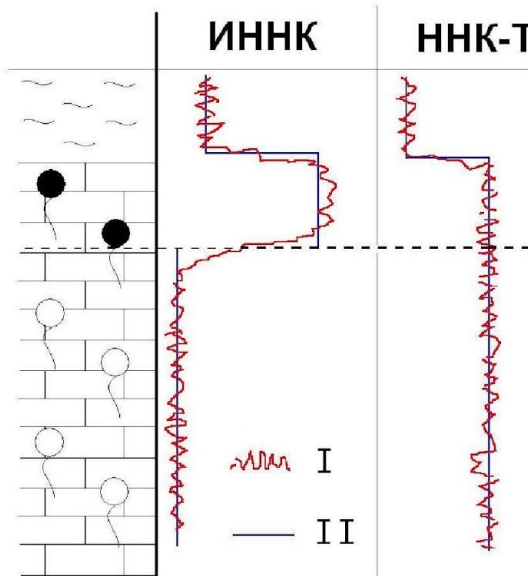
НГК (нейтронный гамма-каротаж) - породу облучают постоянным потоком нейтронов и регистрируют образовавшееся гамма-излучение:

I — наблюденная кривая, II — теоретическое поле.

Породы: 1 — глины; 2 — песчаник; 3 — известняк.

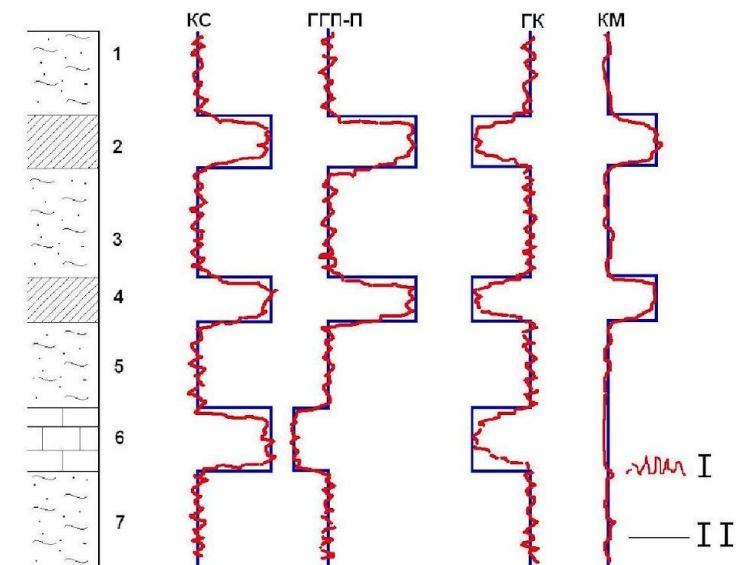
Показания метода сильно зависят от содержания водорода в исследуемой среде. В глине всегда содержится большое количество связанной воды в порах (до 44%). В плотном известняке воды и других содержащих водород веществ практически нет.





ННК-Т — нейтрон-нейтронный каротаж по тепловым нейтронам – измеряют изменение плотности потока тепловых нейтронов

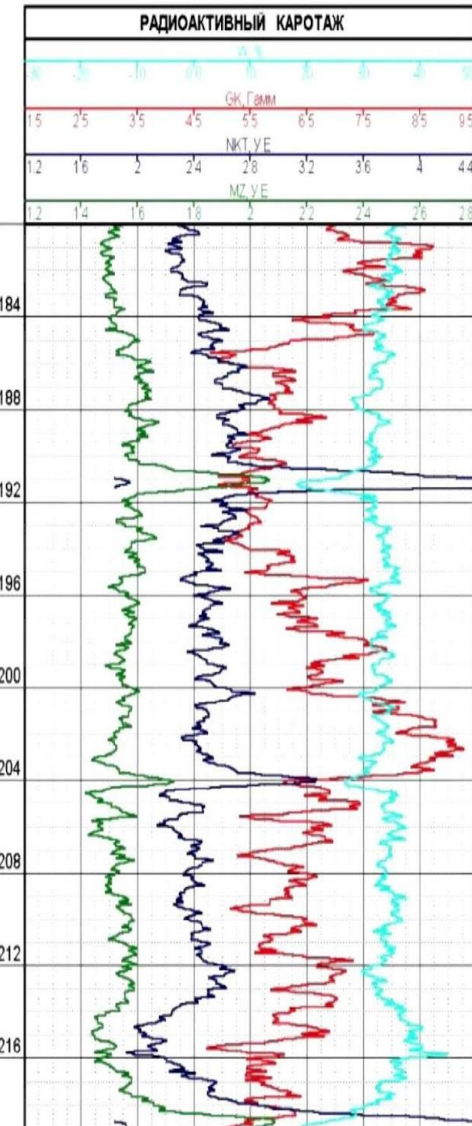
ИННК – импульсный нейтрон-нейтронный каротаж
- измеряют среднее время жизни надтепловых нейтронов, которое зависит от содержания поглотителей (хлора и др.) и водорода:
0,3-0,6 мс — пласты, насыщенные пресной водой или нефтью
0,11-0,33 мс — пласты, насыщенные минерализованной водой
0,6-0,8 мс — пласты, насыщенные природным газом



Выделение угольных пластов комплексом методов.

I — наблюдённая кривая, II — теоретическое поле.

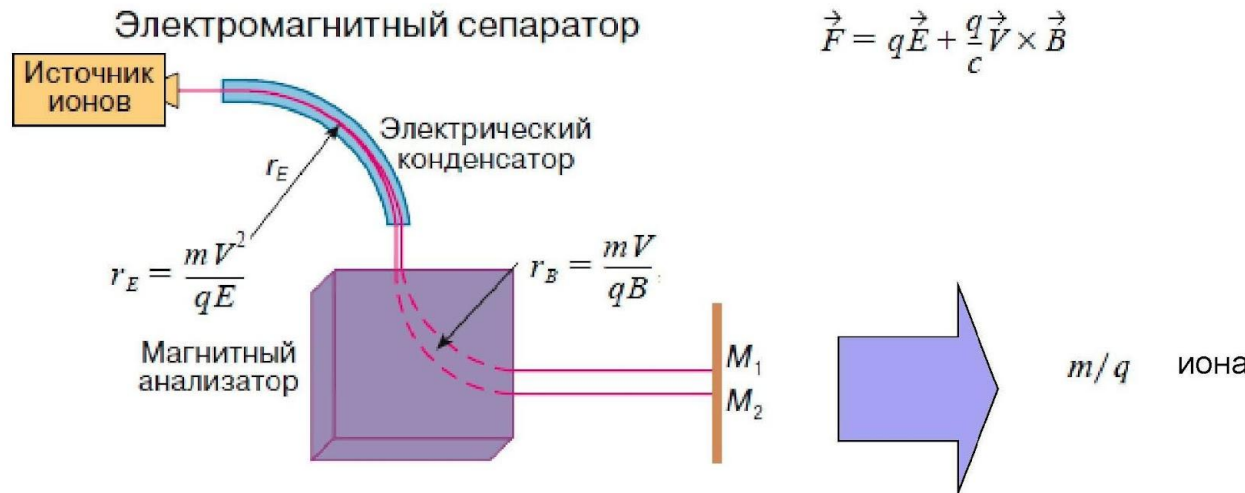
Породы: 1, 3, 5 и 7 — суглинки, 2 и 4 — каменный уголь, 6 — известняк.



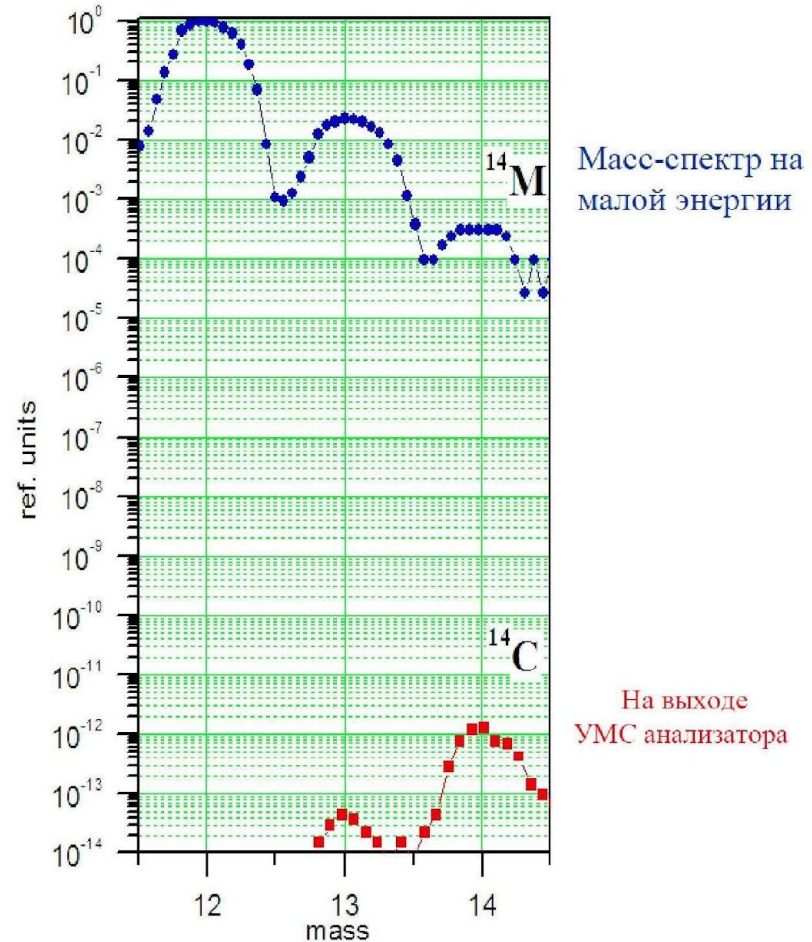
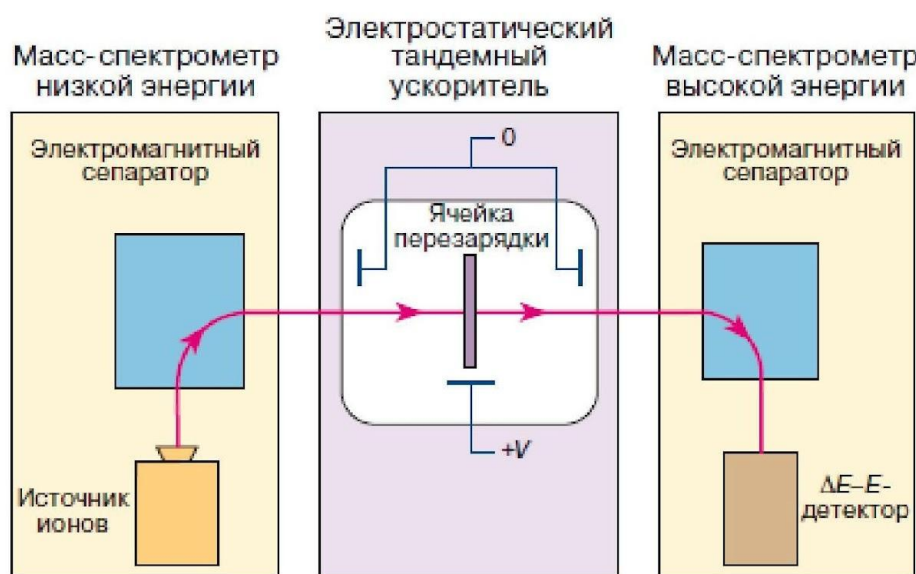
4. Масс-спектрометрия с ускорителями

Ионная масс-спектрометрия

Используется для анализа изотопного состава вещества



Впервые на возможность применения ускорителя элементарных частиц для измерения изотопных отношений указали Л. Альварес (L. Alvarez) и Р. Корног (R. Cornog) в 1939 году.

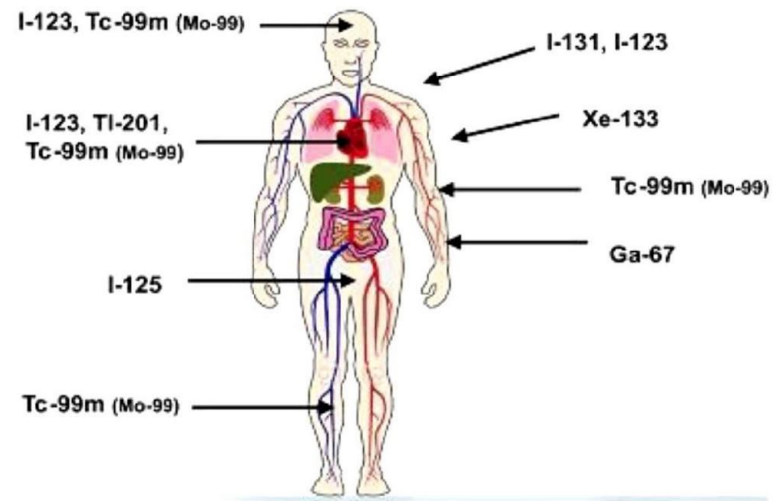


5. Радиоизотопная диагностика в ядерной медицине

Что такое ядерная медицина?

- Ядерная медицина - это медицина, которая использует радиоактивные изотопы для постановки диагноза и лечения болезней (терапия).
- Ядерная медицина позволяет получать данные о функционировании органа и его структуре на молекулярном уровне.
- Ядерная медицина использует относительно небольшие количества открытых радиоактивных материалов (радиофармпрепаратов) для диагностирования и лечения болезней.
- Радиофармпрепараты - это вещества, которые локализуются в отдельных органах, костях или тканях.

Использования радионуклидов для диагностики *in vivo*

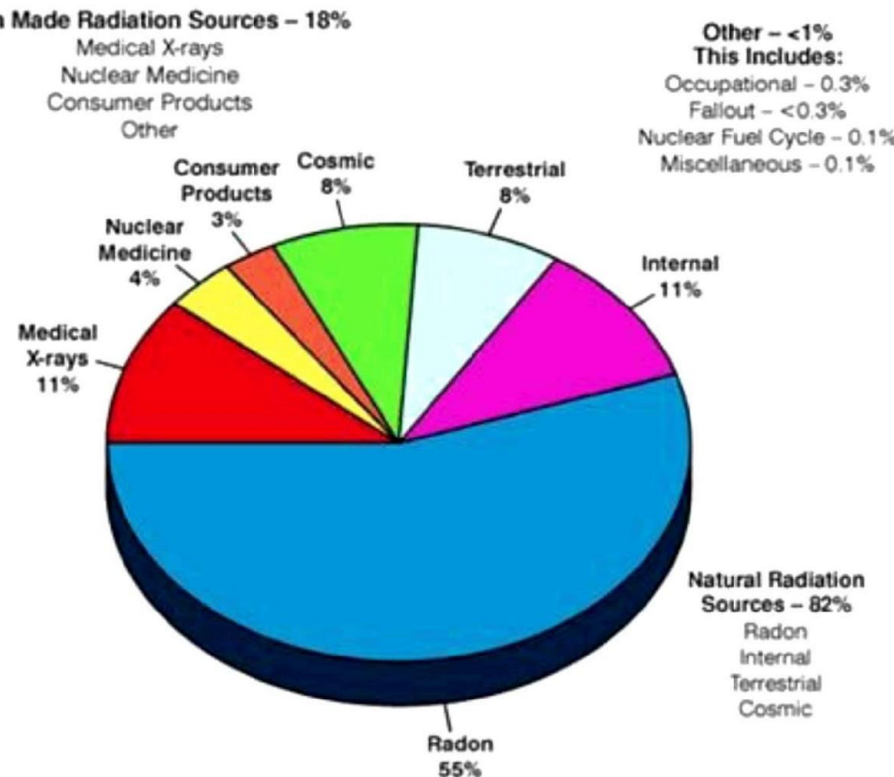


Основные методы получения изображений в ядерной медицине:

- Проекционная рентгеновская визуализация органов и тканей
- Рентгеновская компьютерная томография (КТ)
- Радионуклидная планарная сцинтиграфия
- Однофотонная эмиссионная компьютерная томография (ОФЭКТ)
- Позитронная эмиссионная томография (ПЭТ)
- Ядерная магнито-резонансная томография (ЯМРТ)
- Комбинированная компьютерная томография (Fusion): КТ / ПЭТ; КТ/ЯМРТ; КТ/ОФЭКТ

Сравнение дозных нагрузок человечества

Ionizing Radiation Exposure to the Public



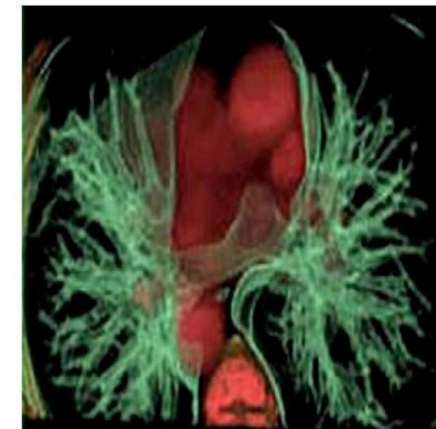
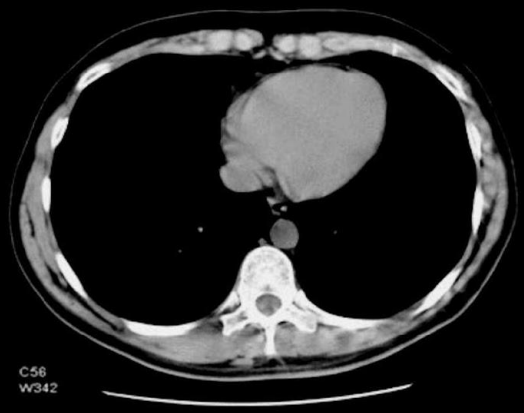
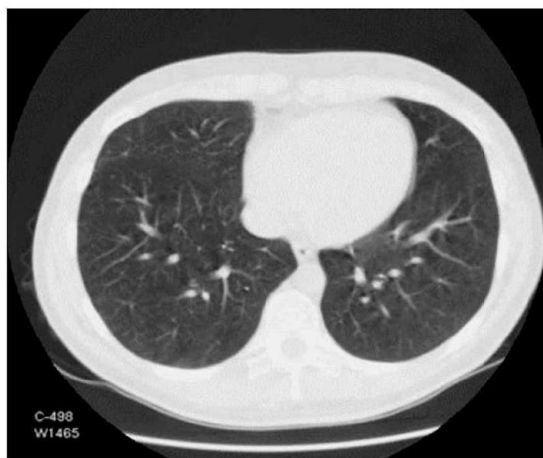
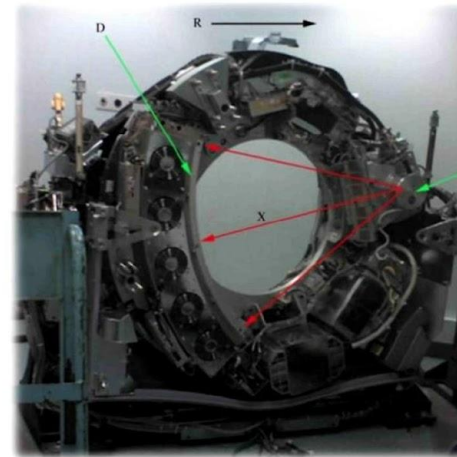
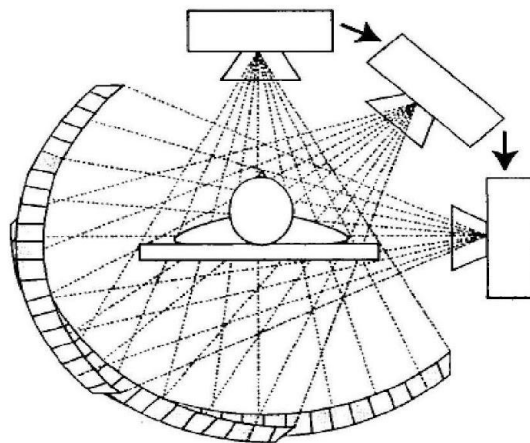
The above chart is taken from the National Council on Radiation Protection and Measurements (NCRP) Report No. 93, "Ionizing Radiation Exposure of the Population of the United States," 1987.

This chart shows that natural sources of radiation account for about 82% of all public exposure while man-made sources account for the remaining 18%.

Компьютерная Томография (КТ)

Метод послойного рентгеновского исследования внутренней структуры объекта

Предложен в 1972 году Годфри Хаунсфилдом и Алланом Кормаком (Н.п. по физиологии и медицине 1979 г.)



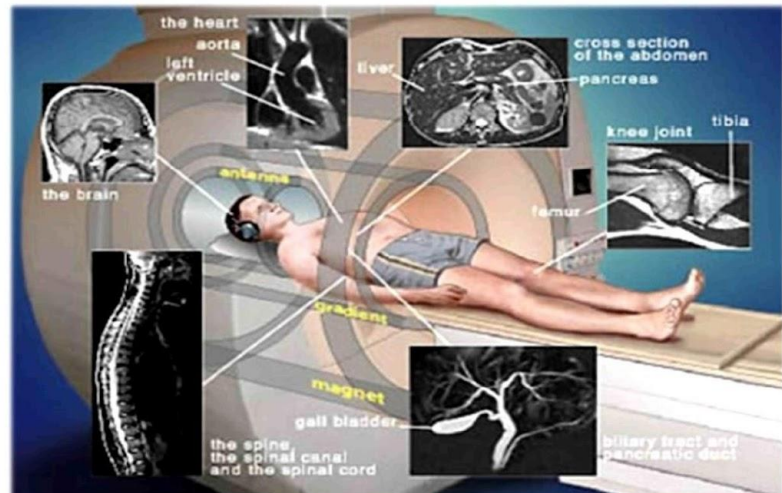
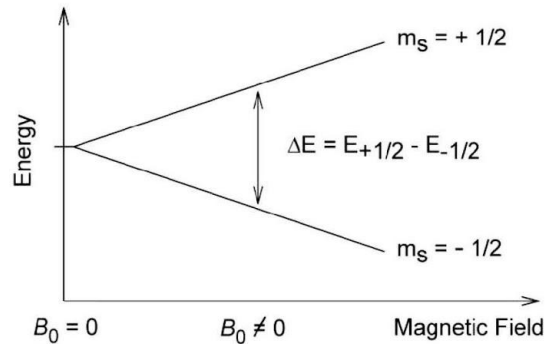
Магнито-Резонансная Томография (МРТ)

томографический метод исследования внутренних органов и тканей с использованием **ядерного магнитного резонанса (ЯМР)**. ЯМР - резонансное поглощение или излучение электромагнитной энергии веществом, содержащим ядра с ненулевым спином во внешнем магнитном поле, на частоте ν обусловленное переориентацией магнитных моментов ядер с полуцелым спином $1/2, 3/2, 5/2$

Изобретен В.А.Ивановым в 1960 г.

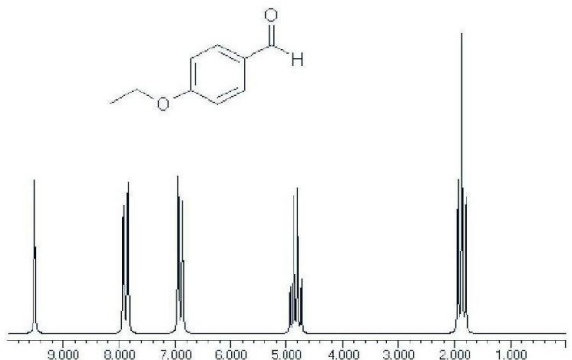
Питер Мэнсфилд и Пол Лоттербур получили в 2003 году Нобелевскую премию в области медицины

Расщепление энергетических уровней ядра со спином **$1/2$** в магнитном поле



Ларморовские частоты ядер

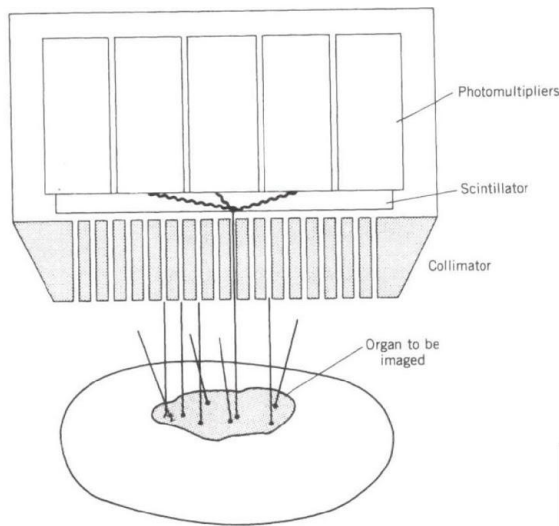
ядро	0,5 Тесла	1 Тесла	7,05 Тесла
^1H (Водород)	21,29	42,58	300,18
^{2}D (Дейтерий)	3,27	6,53	46,08
^{13}C (Углерод)	5,36	10,71	75,51
^{23}Na (Натрий)	5,63	11,26	79,40
^{39}K (Калий)	1,00	1,99	



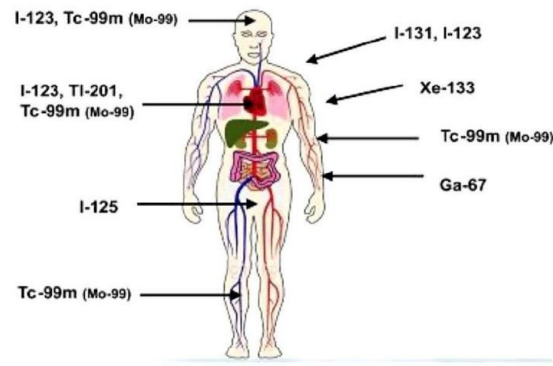
ЯМР спектр ^1H 4-этоксибензальдегида
(м.д. – миллинная доля частоты прибора)



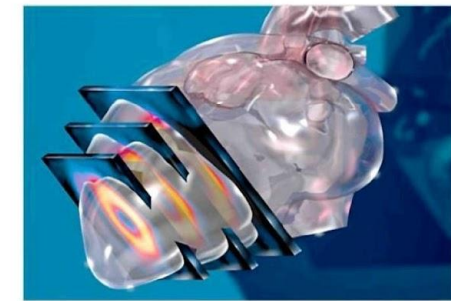
Однофотонная эмиссионная компьютерная томография (ОФЭКТ)



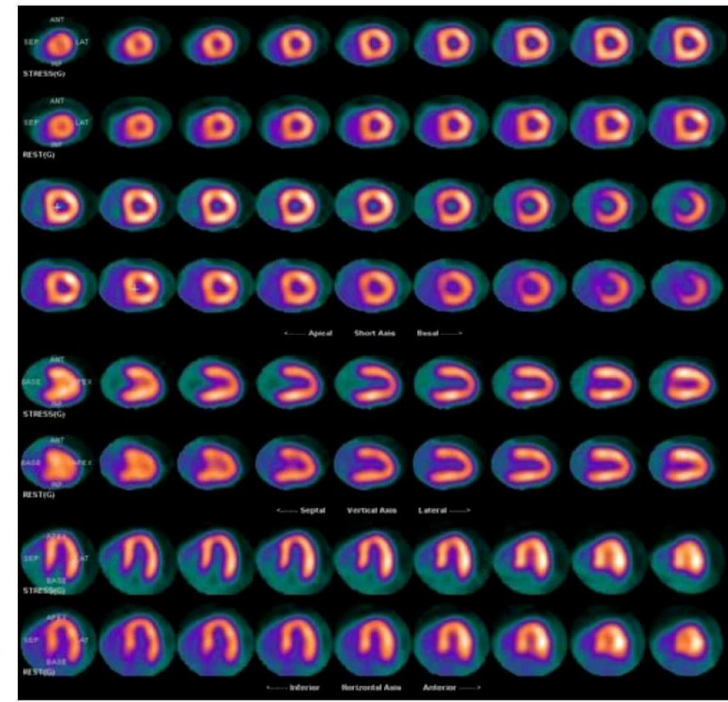
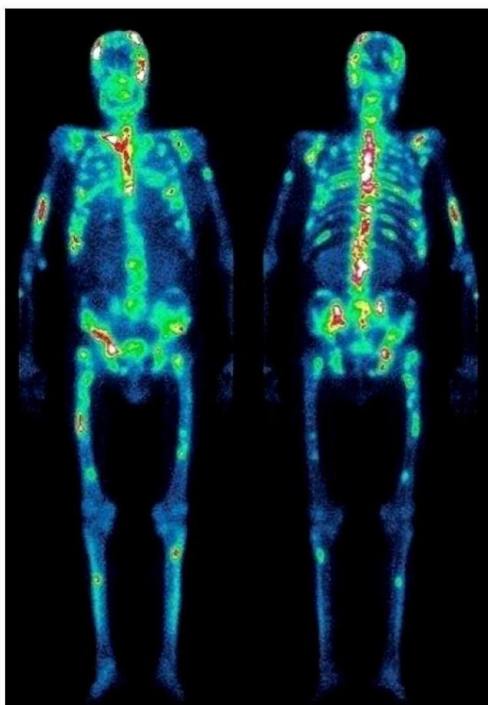
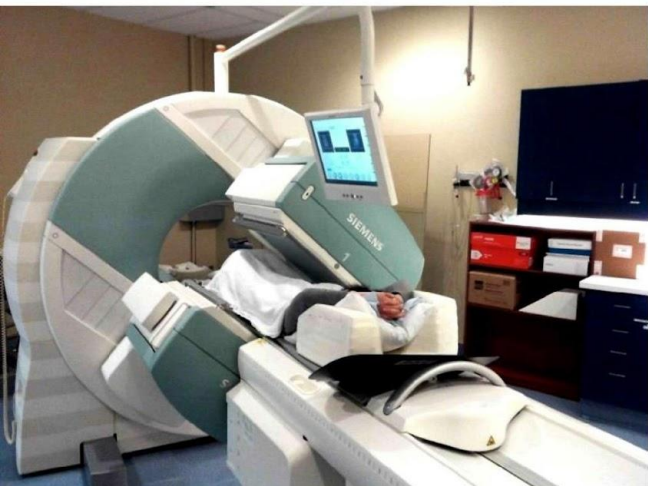
Гамма-камера



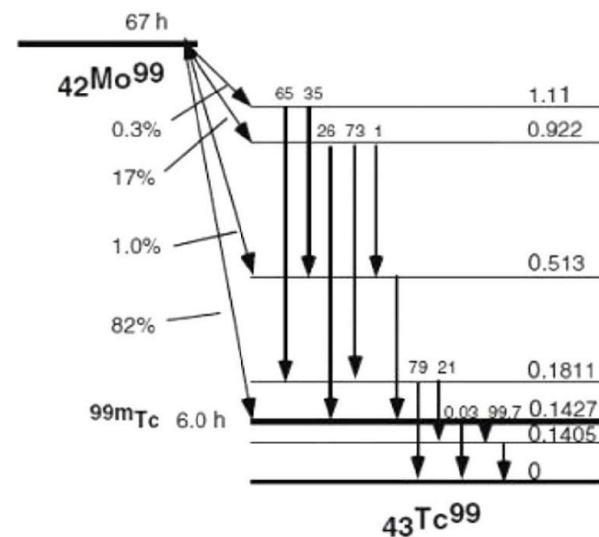
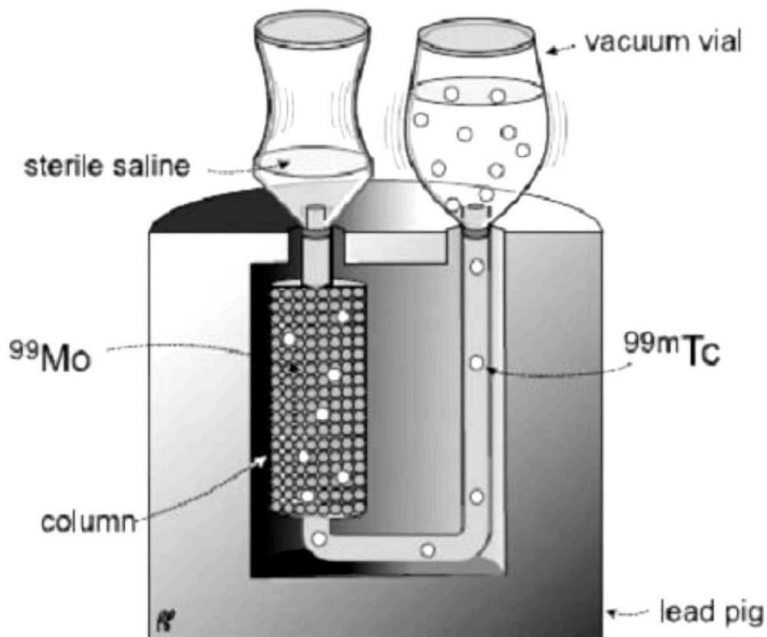
Онкология



Кардиология



Генератор $Tc-99m$



Позитронная эмиссионная томография (ПЭТ)

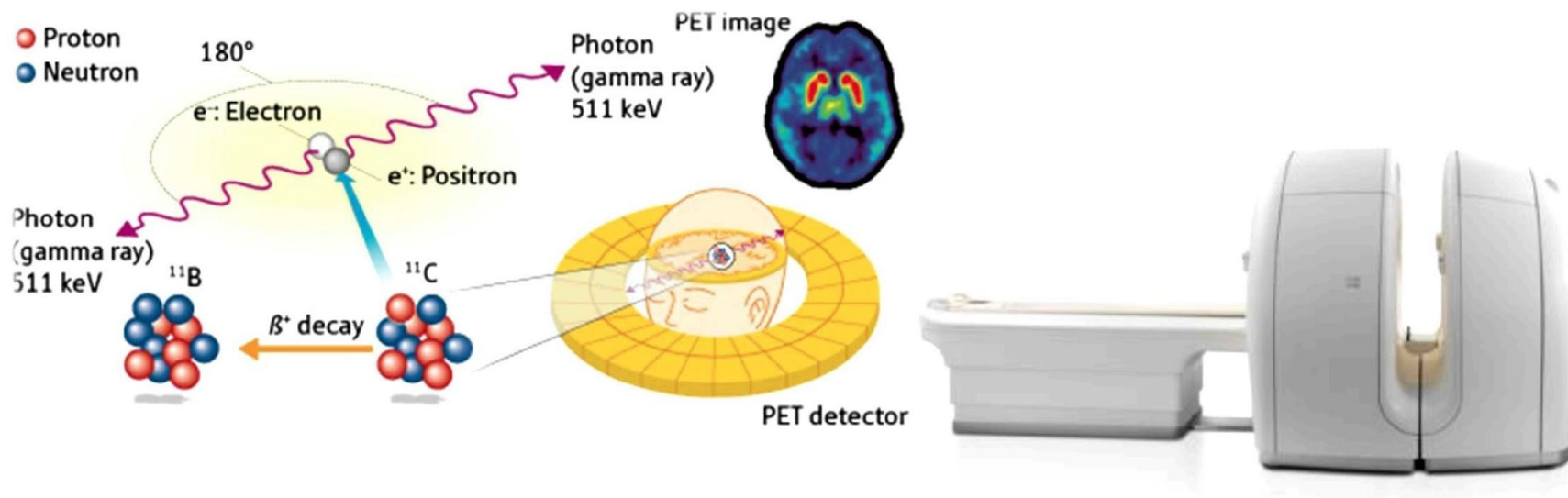


Table 2. Radio-isotopes used in PET

Isotope	Half life	Decay	Proton energy range [MeV]	Utilization
¹¹ C	20.4 min	β^+	6-25	Indicator of cellular activity
¹⁵ O	2.1 min	β^+	5-21	Indicator of tumour necrosis
¹⁸ F	109 min	β^+	3-20	Metabolism of the glucose
⁸¹ Rb	4.6 hours	β^+	>20	Myocardium and brain

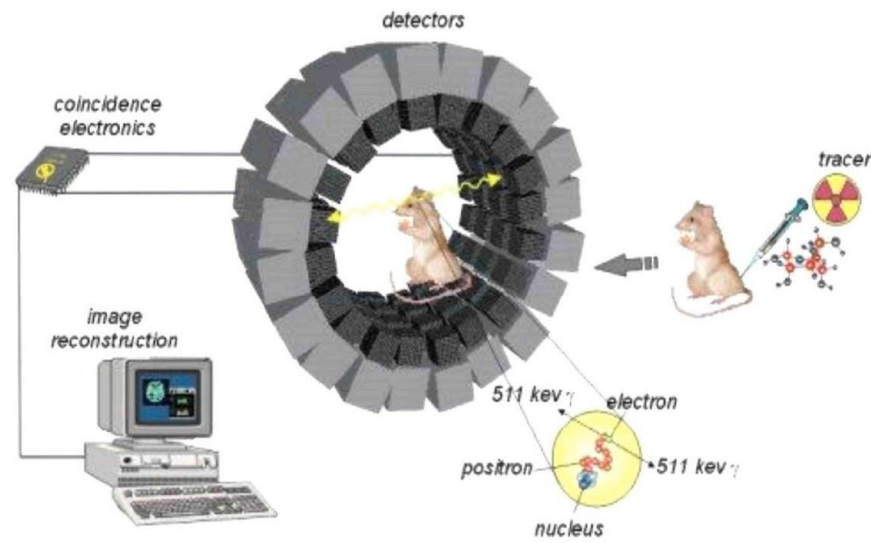
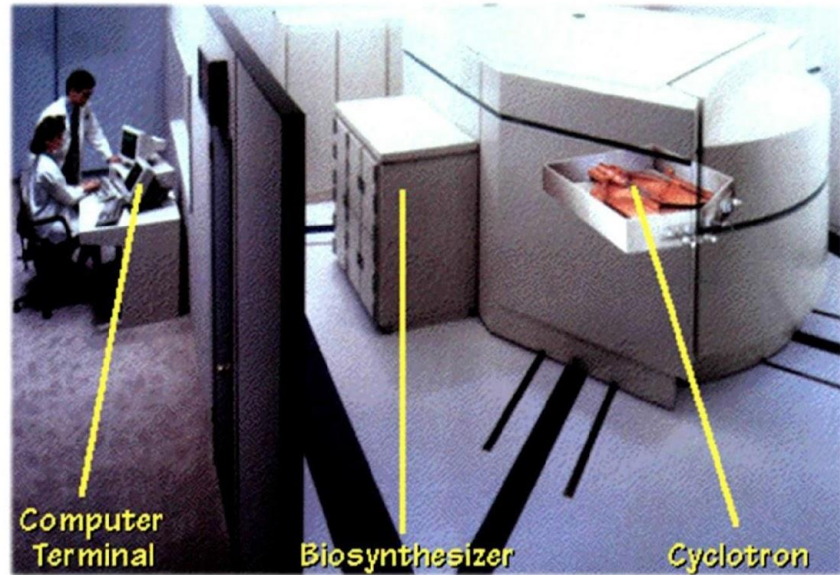
ПЭТ/КТ

Производство радиофармпрепаратов

Радиохимия - область химии, изучающая химию радиоактивных изотопов, элементов и веществ, законы их физико-химического поведения, химию ядерных превращений и сопутствующие им физико-химические процессы

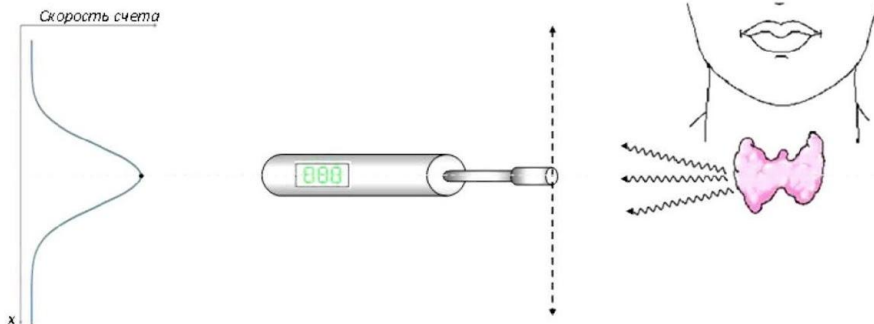
Радиофармпрепараты

- это радиоактивные изотопы или их соединения с различными неорганическими или органическими веществами, предназначенные для диагностики и лечения различных заболеваний



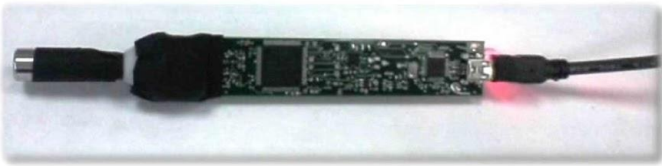
Гамма –зонды

используются как вспомогательный диагностический инструмент для оперативного контроля метастаз

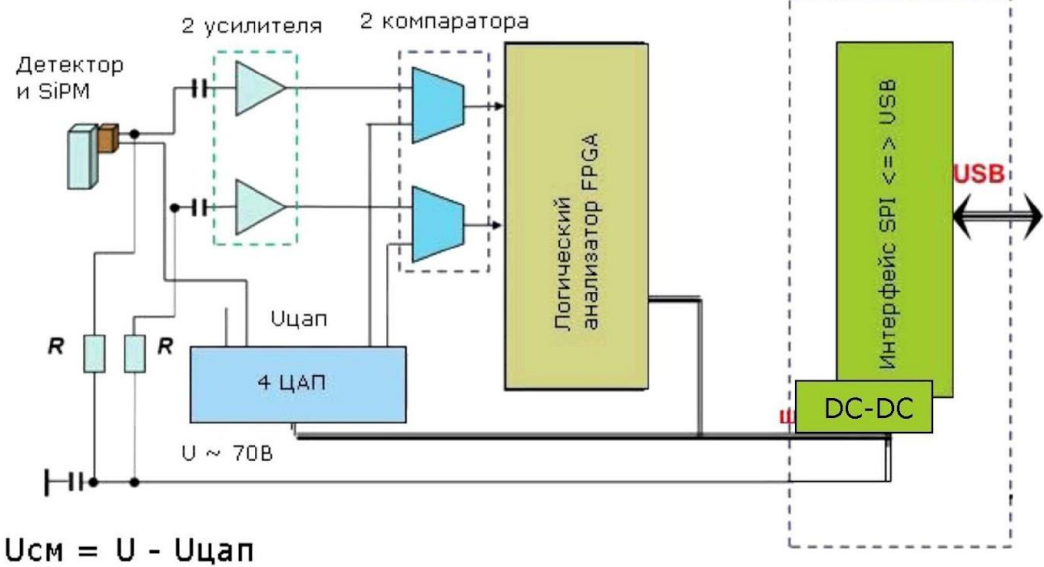
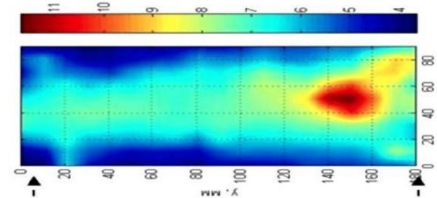


$^{99m}\text{Tc-МІВІ}$, $^{99m}\text{Tc-тетрофосмин}$ – примеры неспецифичных РФП; проникновение молекул из крови через клеточную мембрану носит характер пассивной диффузии по градиенту концентрации

Гамма-локатор, разработанный в МИФИ

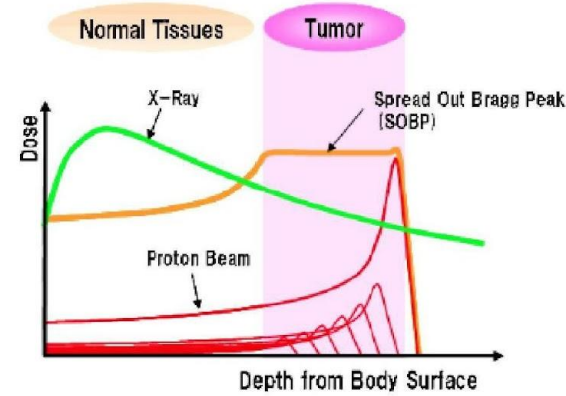
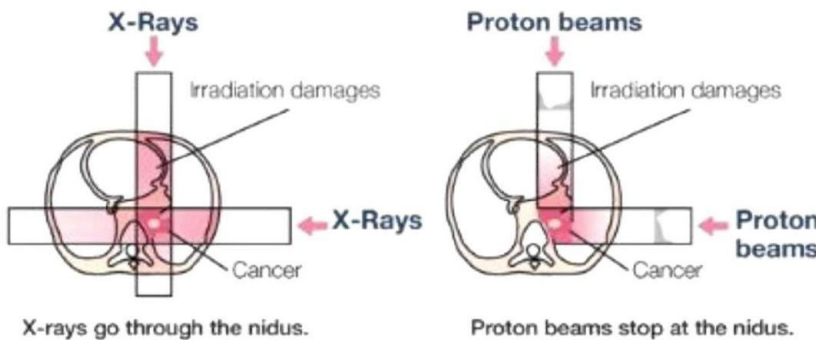
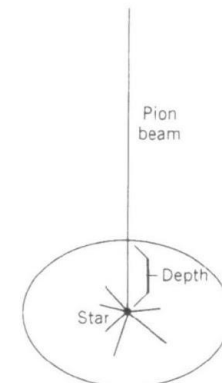
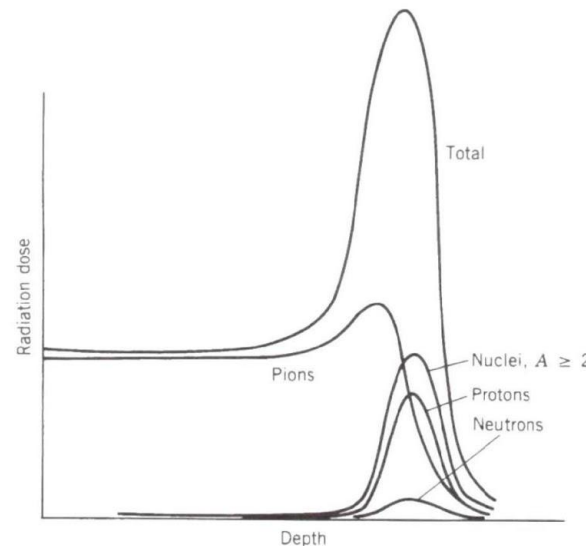
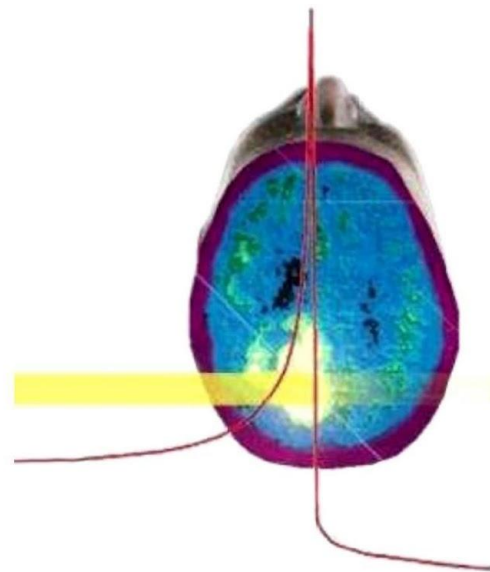


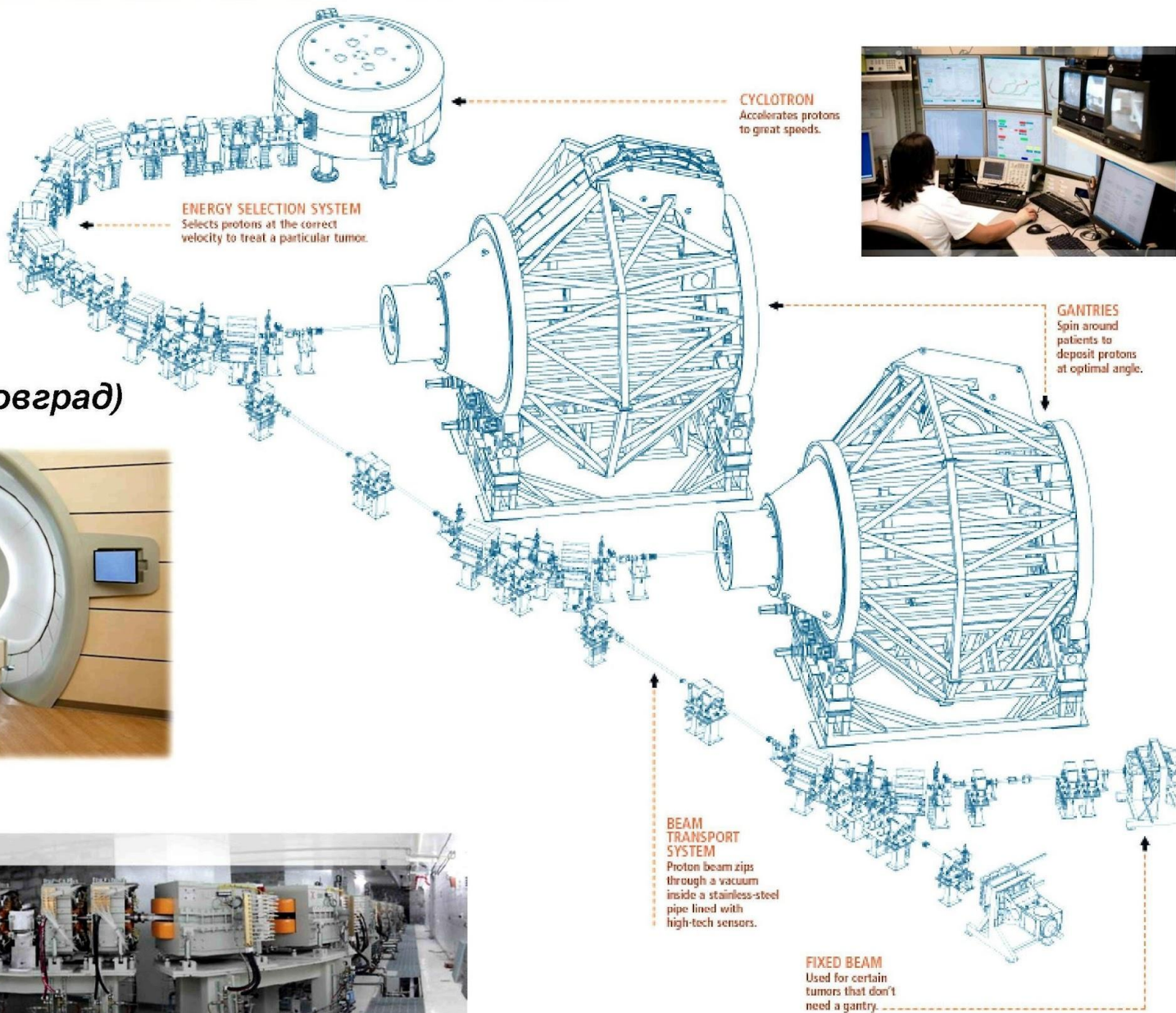
Через разъем USB локатор подключается к компьютеру. Специальное программное обеспечение позволяет осуществить индикацию результата, регулировку напряжения и порогов дискриминации.



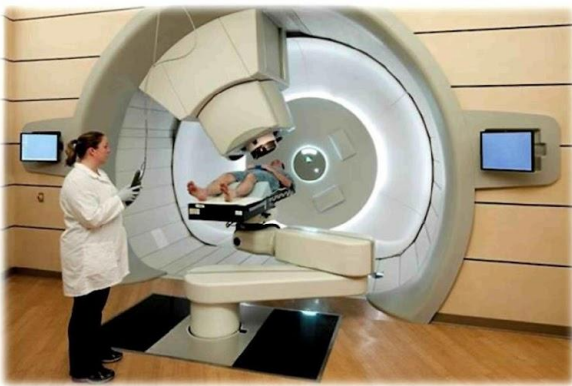
6. Радиационная терапия

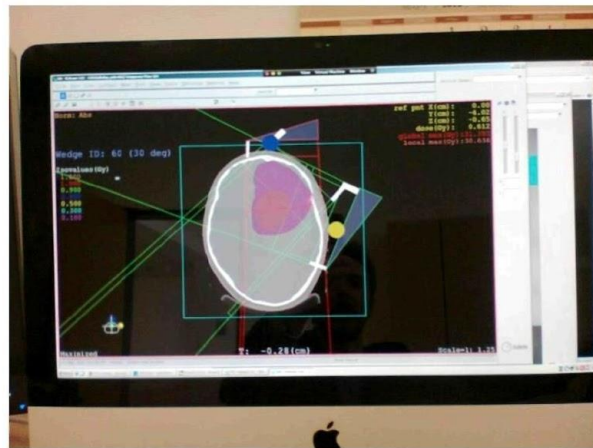
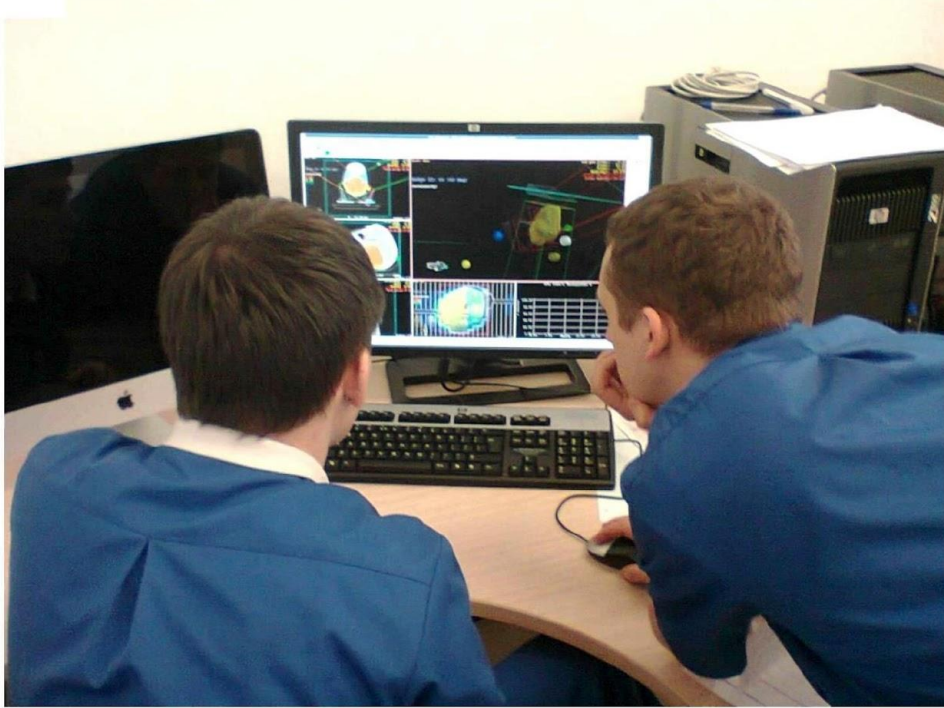
Лучевая терапия



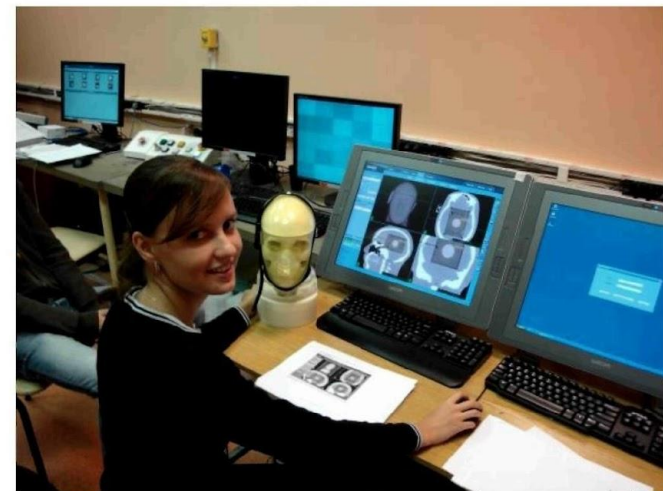
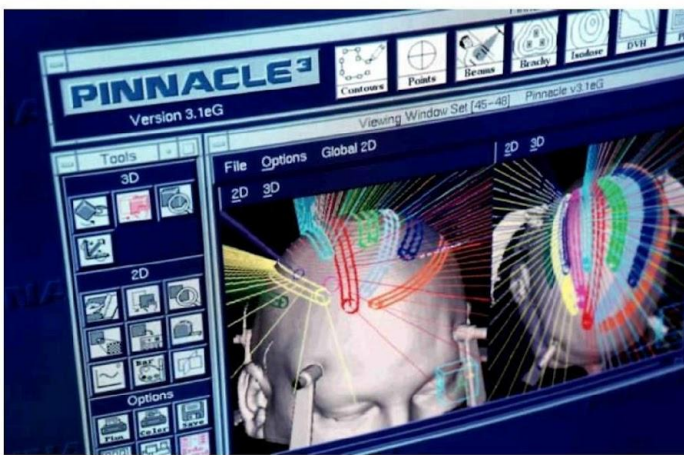
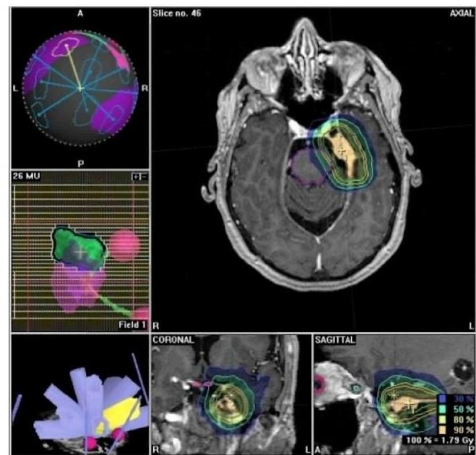


Протонный терапевтический комплекс (Димитровград)





Программа планирования лучевой терапии XiO компании Elekta.

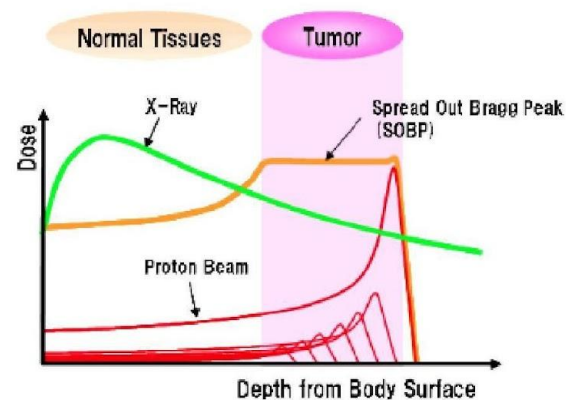
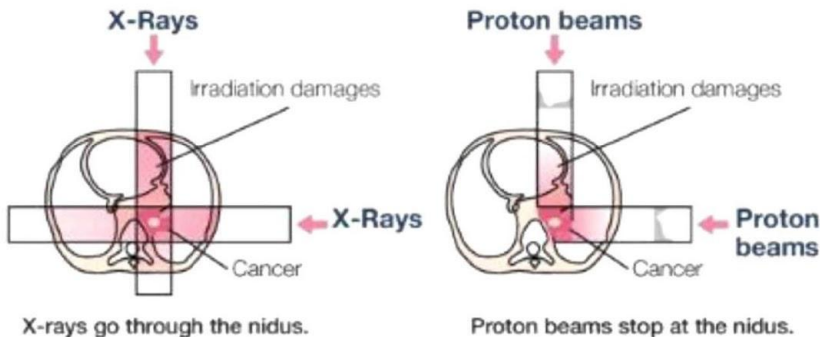




Радиохирургическая система
«Кибернож», использующая
рентгеновское излучение



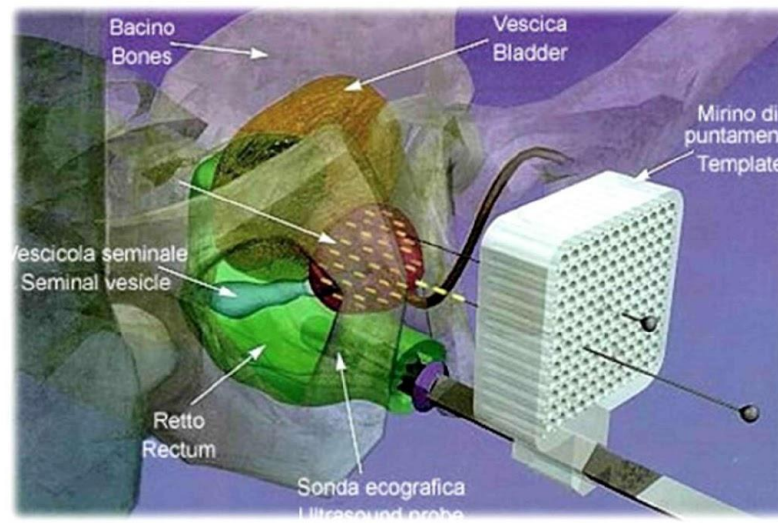
Протонная терапия в РНЦ ИТЭФ



Брахитерапия

Вид радиотерапии, когда источник излучения (Ra-226, Ir-192, I-125, Cs-137, Co-60) вводится внутрь поражённого органа. Преимущество метода заключается в возможности подведения максимальных доз лучевой терапии непосредственно на опухолевый очаг и в зону интереса при минимизации воздействия на критические органы и смежные ткани.

Изотоп	Период полураспада	Средняя энергия	Поглощенная доза при лечении (рака предстат. железы)
I-125	60 дней	28,5 кэВ	145-160 Гр
Pd-103	17 дней	20,8 кэВ	110-115 Гр
Cs-131	9,7 дней	30,4 кэВ	90-100 Гр

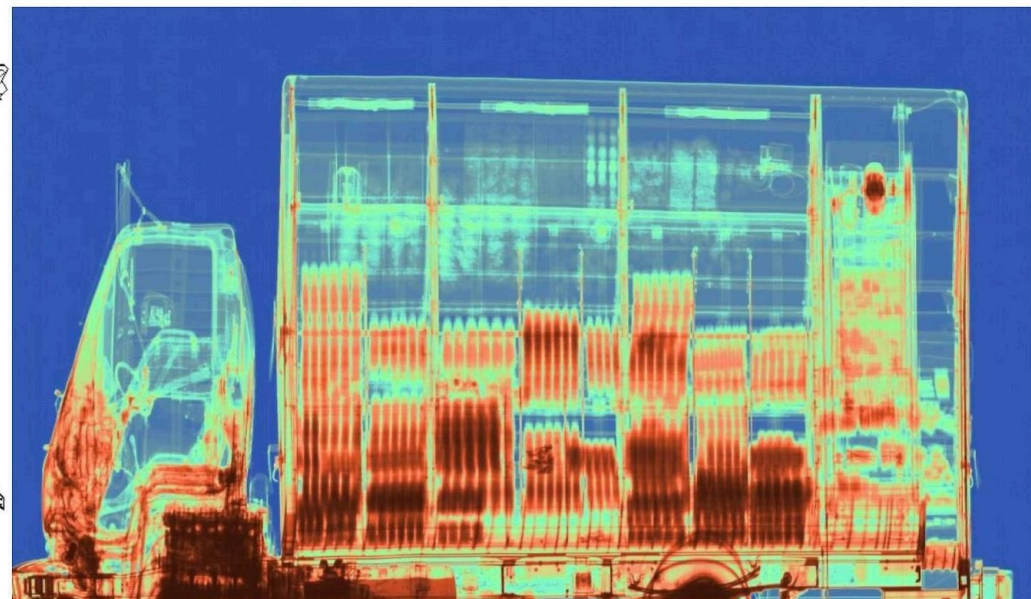
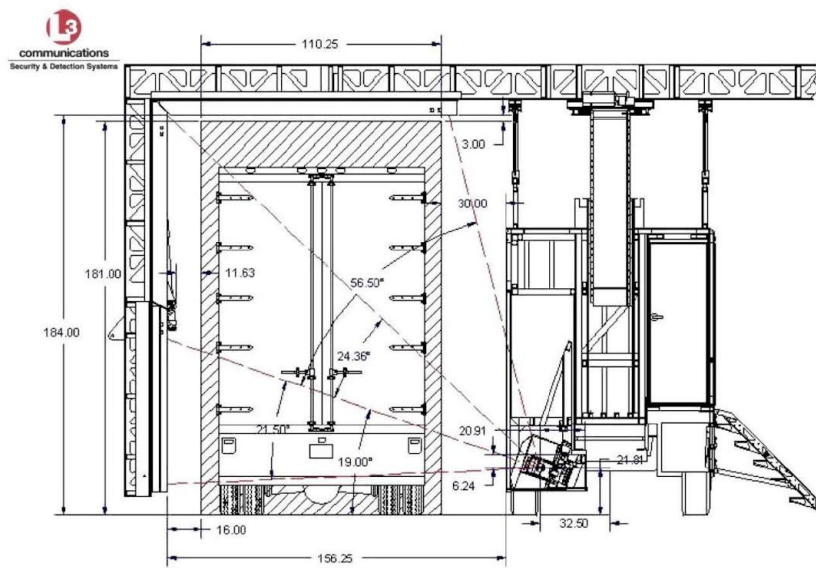


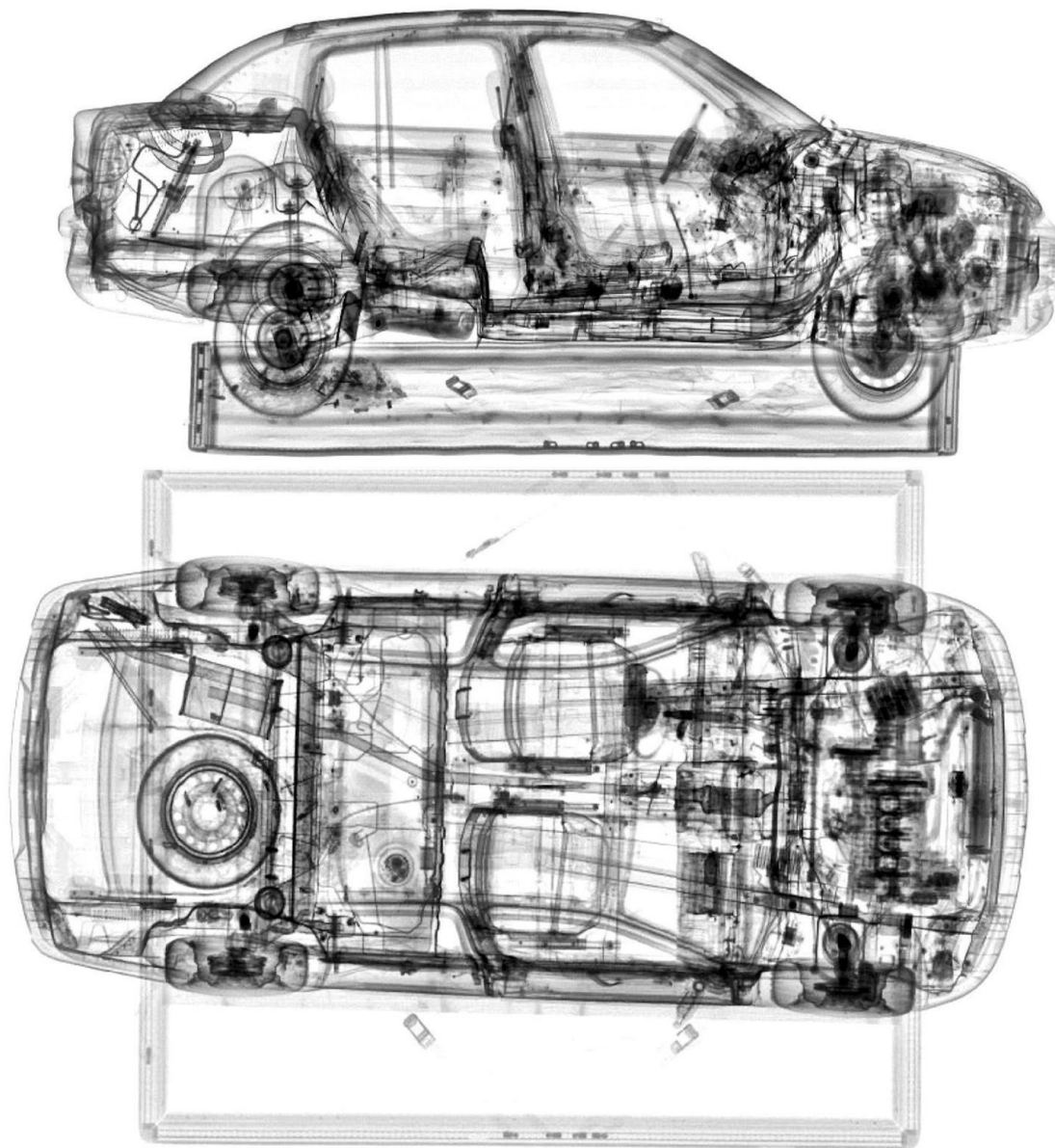
Нейтрон-захватная терапия



7. Системы безопасности

X-Ray Imaging System for trucks and containers





**L3 Communications, Security,
And Detection Systems**

X-Ray Imaging:
2 mm Resolution
9 MeV

Vehicle Portal Monitors for detection of Nuclear Materials **(гамма-спектрометрия)**

TSA/LAURUS Systems



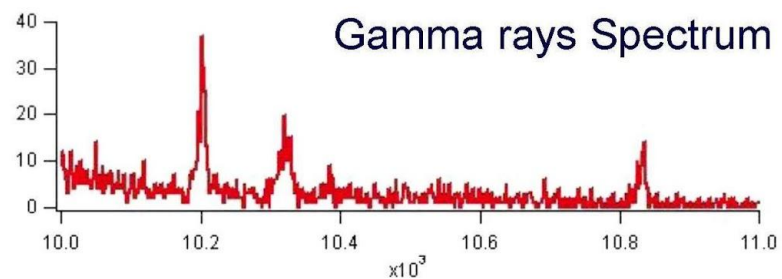
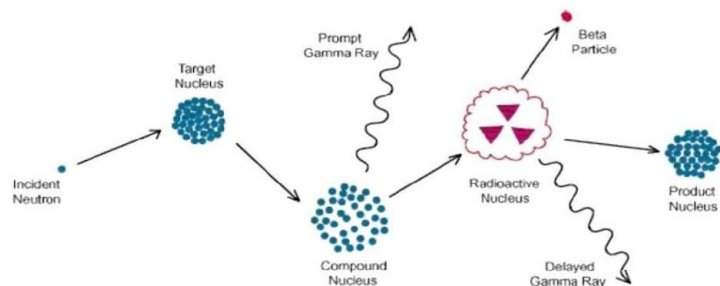
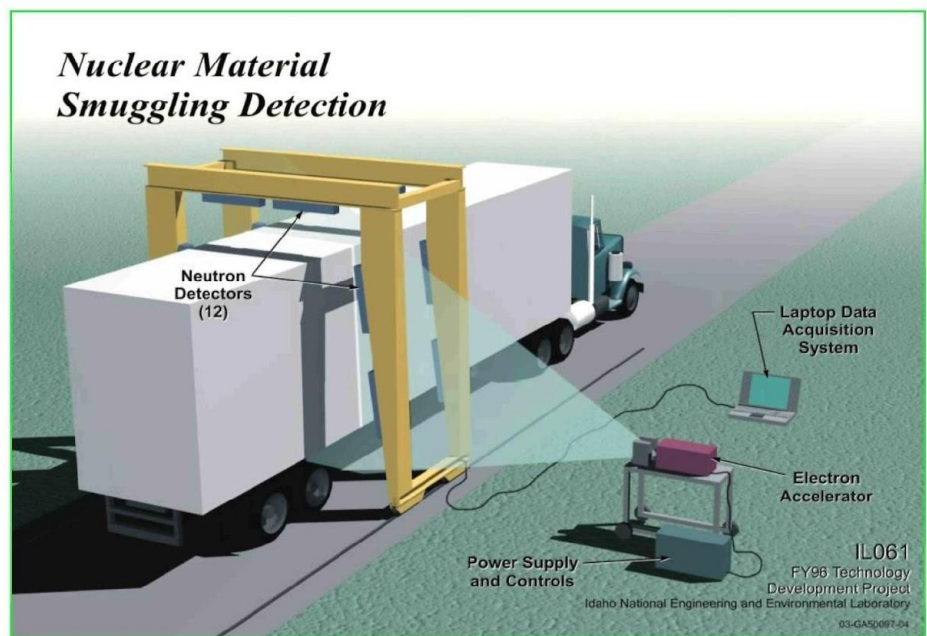
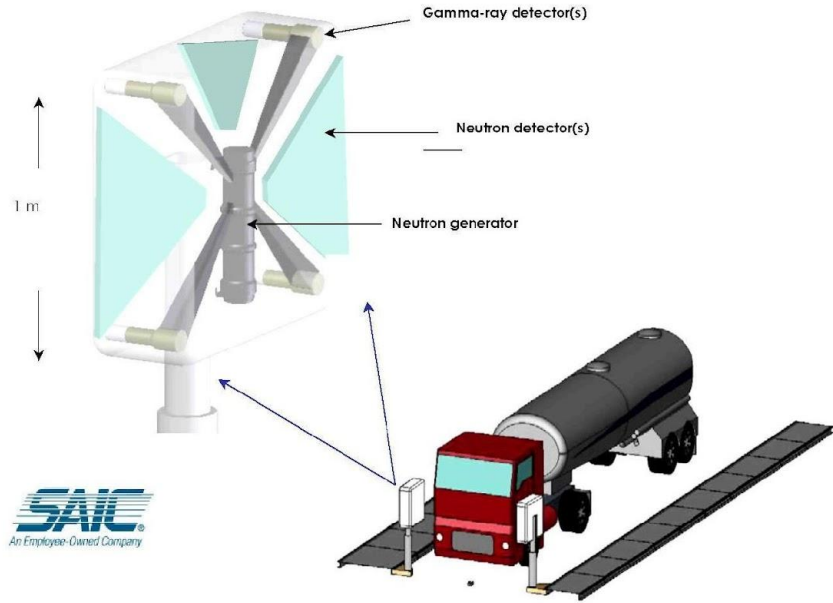
LUNDLUM



Canberra



Active Interrogation Systems for **identification** chemical explosives and nuclear materials

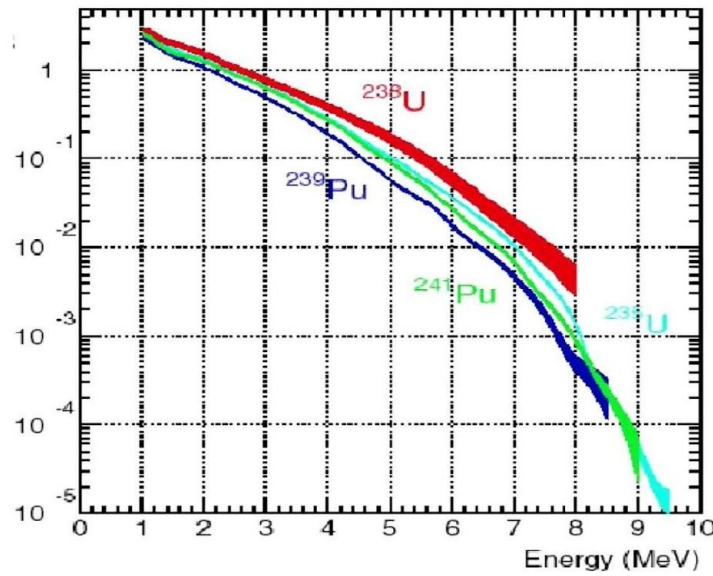


Neutron Activation Analyses

Monitoring nuclear reactors with neutrino detector

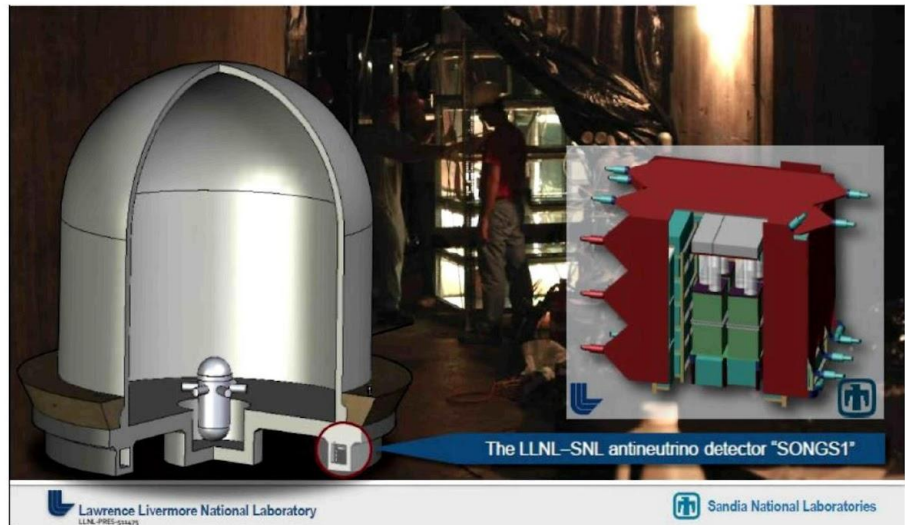


neutrinos/MeV/fission

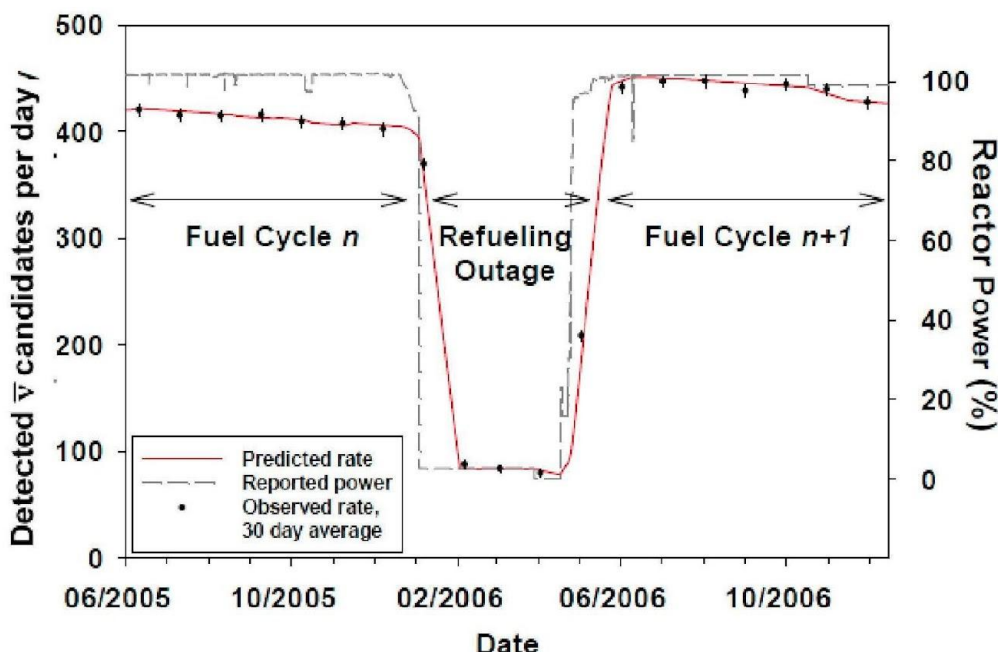


32

Neutrino Spectra from fusions



The LLNL-SNL antineutrino detector "SONGS1"



ВМЕСТО ЗАКЛЮЧЕНИЯ:

Самое прекрасное, что может выпасть нам на долю, - это тайна. Стремление разгадать её стоит у колыбели подлинного искусства и подлинной науки. Тот, кто не знает этого чувства, утратил любопытство, неспособен больше удивляться, все равно что задутая свеча.

Альберт Эйнштейн

1931 г.

Источники информации

1. K.S.Krane. Introductory Nuclear Physics. Wiley, 1988. Chapter 20;
<http://www.fulviofrisone.com/attachments/article/446/Krane%20-%20Introductory%20Nuclear%20Physics.pdf> .
2. Широков Ю.М., Юдин Н.П. Ядерная физика. Изд. 2е. М.: Наука, 1980. Глава XIII. <http://review3d.ru/shirokov-yu-m-yudin-n-p-yadernaya-fizika-izd-2e>